



**Ministerul Educației și Cercetării**  
**Olimpiada Națională de Fizică**  
**Drobeta – Turnu Severin**  
**8 aprilie 2004**  
**Proba de baraj- soluție**

# Baraj

## ***Electricitate***

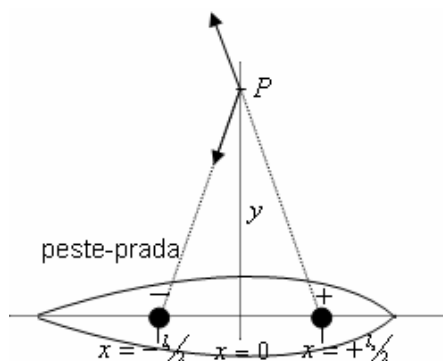
a. Când sursa de curent cu intensitatea  $I_s$  se află în mediu izotrop omogen și infinit, vectorul densitate de curent la distanța  $r$  de punctul sursă este

$$\vec{j} = \frac{I_s}{4\pi r^3} \vec{r} \quad (1)$$

Unde caracterul vectorial ( cu distribuție radială) este esențial

b. Dacă se presupune că rezistivitatea corpului peștelui și a apei în care acesta se află este aceeași, nu mai sunt necesare condiții la limită speciale la suprafața care separă peștele de apă. În acest caz, cele două sfere care modelează peștele sunt cufundate într-un mediu izotrop cu rezistivitatea  $\rho$ . Când o sferă mică produce curentul  $I_s$ , conform punctului anterior densitatea de curent la distanța  $r$  de sferă este dată de expresia (1). Expresia corespunzătoare a intensității câmpului electric este

$$\begin{cases} \vec{E}(\vec{r}) = \rho \vec{j} \\ \vec{E}(\vec{r}) = \frac{\rho I_s}{4\pi r^3} \vec{r} \end{cases} \quad (2)$$



În model sunt două sfere mici – una la potențial pozitiv și alta la potențial negativ. Curentul  $I_s$  curge de la sfera pozitivă spre sfera negativă . Sferele sunt separate prin distanța  $l_s$ . În sistemul de referință din figură intensitatea câmpului în  $P(0,y)$  este:

$$\begin{aligned}
\vec{E}_p &= \vec{E}_+ + \vec{E}_- \\
&= \frac{\rho I_s}{4\pi} \left[ \frac{1}{\left( \left( \frac{l_s}{2} \right)^2 + y^2 \right)^{\frac{3}{2}}} \left( -\frac{l_s}{2} i + yj \right) + \frac{1}{\left( \left( \frac{l_s}{2} \right)^2 + y^2 \right)^{\frac{3}{2}}} \left( -\frac{l_s}{2} i - yj \right) \right] \\
&= \frac{\rho I_s}{4\pi} \left[ \frac{l_s(-i)}{\left( \left( \frac{l_s}{2} \right)^2 + y^2 \right)^{\frac{3}{2}}} \right] \quad (3)^* \\
\vec{E}_p &\approx \frac{\rho I_s l_s}{4\pi y^3} (-i) \quad \text{pentru } l_s \ll y
\end{aligned}$$

c. Intensitatea câmpului electric de-a lungul axei pe care se află cele două sfere sursă are expresia

$$\vec{E}(x) = \frac{\rho I_s}{4\pi} \left( \frac{1}{\left( x - \frac{l_s}{2} \right)^2} + \frac{1}{\left( x + \frac{l_s}{2} \right)^2} \right) (-i) \quad (4)$$

Diferența de potențial care produce curentul  $I_s$  este deci

$$\begin{aligned}
V_s = \Delta V = V_+ - V_- &= - \int_{\left( -\frac{l_s}{2} + r_s \right)}^{\left( \frac{l_s}{2} - r_s \right)} \vec{E}(x) \cdot d\vec{x} = - \frac{\rho I_s}{4\pi} \int \left( \frac{1}{\left( x - \frac{l_s}{2} \right)^2} + \frac{1}{\left( x + \frac{l_s}{2} \right)^2} \right) (-i) (i dx) \\
V_s &= \frac{\rho I_s}{4\pi} \left( \frac{2}{r_s} - \frac{2}{l_s - r_s} \right) = \frac{2\rho I_s}{4\pi} \left( \frac{l_s - r_s - r_s}{(l_s - r_s)r_s} \right) = \frac{\rho I_s}{2\pi r_s} \left( \frac{l_s - 2r_s}{l_s - r_s} \right) \quad (5)^*
\end{aligned}$$

$$V_s = \Delta V \approx \frac{\rho I_s}{2\pi r_s} \quad \text{for } l_s \gg r_s.$$

Iar rezistența dintre cele două sfere sursă este

$$R_s = \frac{V_s}{I_s} = \frac{\rho}{2\pi r_s} \quad (6)^*$$

d.  $V$  este diferența de potențial dintre pozițiile celor două sfere ale detectorului datorată câmpului electric produs de pradă,  $R_m$  este rezistența internă datorată mediului în care se petrece detecția.  $V_d$  și  $R_d$  sunt respectiv diferența de potențial dintre sferele detectoare și rezistența elementului detector reprezentat de prădător iar  $i_d$  este curentul care curge prin circuitul apărut în procesul detecției.

Analog cu situația rezistenței dintre cele două sfere sursă, rezistența mediului de rezistivitate  $\rho$  între sferele detectoare de raze  $r_d$  este:

$$R_m = \frac{\rho}{2\pi r_d} \quad (7)^*$$

Cum  $l_d$  este mult mai mic decât  $y$ , intensitatea câmpului electric între sfere poate fi presupusă constantă și

$$E = \frac{\rho I_s l_s}{4\pi y^3} \quad (8)$$

Rezultă că, diferența de potențial dintre punctele în care se află sferele detectoare este

$$V = El_d = \frac{\rho I_s l_s l_d}{4\pi y^3} \quad (9)$$

iar diferența de potențial dintre sferele detectoare este

$$V_d = V \frac{R_d}{R_d + R_m} = \frac{\rho I_s l_s l_d}{4\pi y^3} \frac{R_d}{R_d + \frac{\rho}{2\pi r_d}} \quad (10)^*$$

e. Conform figurii

$$V(r) = \frac{q}{4\pi\epsilon_0} \left[ \frac{1}{AM} + \frac{1}{BM} - \frac{1}{CM} - \frac{1}{DM} \right] \quad (11)$$

Din  $\vec{AM} = \vec{OM} - \vec{OA}$  rezultă  $(AM)^2 = r^2 - 2ra \cos \theta + a^2$  și deci

$$\frac{1}{AM} = \frac{1}{r} \left( 1 - \frac{2a}{r} \cos \theta + \frac{a^2}{r^2} \right)^{-1/2} \approx \frac{1}{r} \left[ 1 + \frac{a}{r} \cos \theta + \frac{a^2}{2r^2} (3 \cos^2 \theta - 1) + \dots \right]. \quad (12)$$

Pentru BM folosim aceeași formula cu  $\theta \rightarrow \pi - \theta$  iar pentru CM și DM vom face ca  $\theta$  să treacă în  $\frac{\pi}{2} \mp \theta$ . Avem

$$\frac{1}{BM} \approx \frac{1}{r} \left[ 1 - \frac{a}{r} \cos \theta + \frac{a^2}{2r^2} (3 \cos^2 \theta - 1) + \dots \right], \quad (13)$$

$$\frac{1}{CM} \approx \frac{1}{r} \left[ 1 + \frac{a}{r} \sin \theta + \frac{a^2}{2r^2} (3 \sin^2 \theta - 1) + \dots \right], \quad (14)$$

$$\frac{1}{DM} \approx \frac{1}{r} \left[ 1 - \frac{a}{r} \sin \theta + \frac{a^2}{2r^2} (3 \sin^2 \theta - 1) + \dots \right]. \quad (15)$$

Finalmente obținem

$$V(r) \approx k \frac{\cos(2\theta)}{r^3}, \quad (16)$$

$$\text{unde } k \equiv \frac{3qa^2}{4\pi\epsilon_0}.$$

Câmpul electric din planul xOy este  $\vec{E} = -(\vec{i} \frac{\partial V}{\partial x} + \vec{j} \frac{\partial V}{\partial y})$  unde şI vom scrie pe  $V(r)$  sub forma

$$V(x, y) = k \frac{x^2 - y^2}{(x^2 + y^2)^{5/2}}. \quad (17)$$

$$\text{Avem } \frac{\partial V}{\partial x} = \frac{kx}{r^7} (7y^2 - 3x^2) \text{ şi } \frac{\partial V}{\partial y} = \frac{ky}{r^7} (3y^2 - 7x^2).$$

Componentele câmpului electric sunt:

$$E_r = -\frac{\partial V}{\partial x} \cos \theta - \frac{\partial V}{\partial y} \sin \theta = \frac{3k}{r^4} \cos(2\theta), \quad (18)$$

(componenta radială) respectiv

$$E_\theta = \frac{\partial V}{\partial x} \sin \theta - \frac{\partial V}{\partial y} \cos \theta = \frac{2k}{r^4} \sin(2\theta), \quad (19)$$

(componenta transversală).

Liniile de câmp au proprietatea că sunt tangente la vectorul  $\vec{E}$  în orice loc din spaţiu (sau  $\vec{E}$  este pe direcţia tangentei la liniile de câmp în orice loc din spaţiu). Aceasta înseamnă anularea produsului vectorial  $\vec{E} \times d\vec{s}$ , cu  $d\vec{s}$  = element de arc pe curba numită "linie de câmp". Putem scrie

$$(\vec{l}_r \cdot \vec{E}_r + \vec{l}_\theta \cdot \vec{E}_\theta)(\vec{l}_r \cdot d\vec{r} + \vec{l}_\theta \cdot r d\theta) = 0,$$

adică

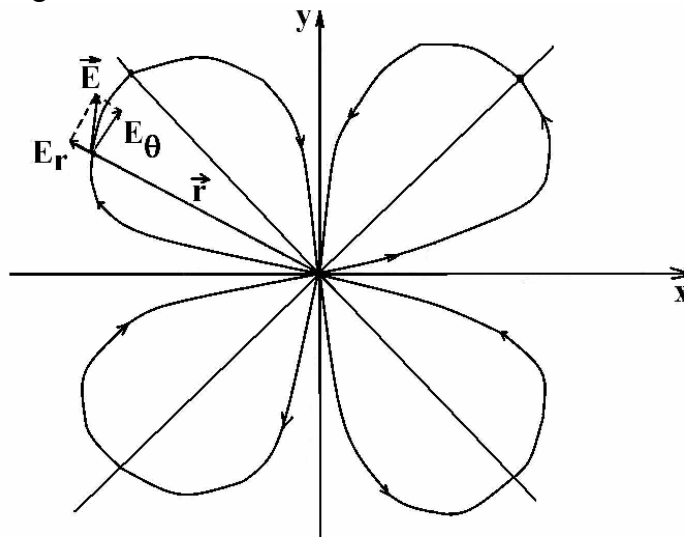
$$E_r(r d\theta) = E_\theta \cdot dr.$$

$$\text{Aşadar } \frac{dr}{r} = \frac{E_r}{E_\theta} d\theta = \frac{3}{2} \text{ctg}(2\theta) \cdot d\theta$$

Prin integrare obţinem

$$r = C [\sin(2\theta)]^{3/4}, \quad (20)_p$$

C fiind o constantă de integrare.



Valorile maxime ale lui  $r$  se obţin pentru  $\theta = 45^\circ, 135^\circ, 225^\circ, 315^\circ$  (adică în lungul bisectoarelor 1 şi 2). Deci liniile de câmp sunt rozete cu patru foi – vezi figura. Desigur considerentele sunt valabile doar la distanţe mari faţă de distribuţia de sarcini.